

دراسة المؤشرات الترموديناميكية لدارة محول حراري مبتكر وتقدير

أدائه

محمد أحمد محمد*

محمد عبد باكيه**

الملخص

تعتبر المحولات الحرارية الإمتصاصية من الآلات الحرارية المشغلة حرارياً بواسطة منبع حراري منخفض درجة الحرارة. تطورت هذه الآلات كثيراً من الآلات الهمجينة إلى دارة المفاعل لتخفيف الاستهلاك الكهربائي، والإعتماد على الحرارة لتشغيل الدارة. فمما في هذا البحث بدراسة المؤشرات الترموديناميكية لنموذج جديد مطور من دارة محول حراري (مفاعل)، تستخدم مزيج من الماء والأمونيا كوسيلط عامل في الدارة بعرض تقييم أدائه.

توصلنا في هذا البحث إلى أهمية مؤشرات ضغط التشغيل، ودرجة حرارة المزيج الخارج من المفاعل على معاملات الأداء في الدارة، بالإضافة إلى دور هذه المؤشرات في تحديد الغاية من استخدام المحول الحراري (كمضخة حرارية، أو آلية تبريد).

كما تبين من الدراسة عدم تأثير مؤشرات مدى التدرج الحراري في المفاعل، أو درجة حرارة قاع المفاعل، أو حمل التبريد على معاملات أداء الدارة.

كما توصلنا في هذا البحث إلى أنه، ويسبب العمليات الكيميائية التي تحصل في المفاعل (امتصاص الأمونيا، وعملية الفصل التالقي للمكونات) سوف تتأثر المؤشرات الترموديناميكية فيه، حيث تنتج حرارة ضمن المفاعل يجب التخلص منها بعرض إبقاء المفاعل في حالة مشحونة، والدارة في حالة عمل. تتعلق كميات الحرارة المطروحة في المفاعل بمؤشرات تشغيل المفاعل، وتحمل التبريد، والاستطاعة الكهربائية المستهلكة في الدارة.

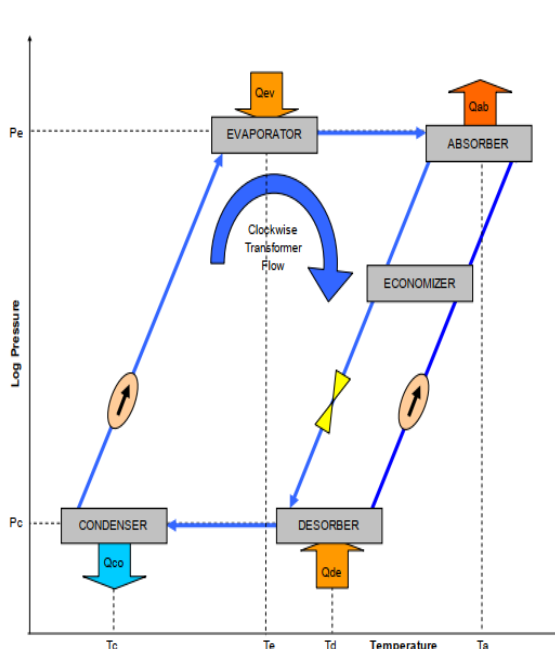
كلمات مفتاحية: المحول الحراري، المفاعل الحراري، الدارات الإمتصاصية، المزيج الزيوتروبي.

* أستاذ في قسم هندسة القوى- كلية الهمك. جامعة حمص

** طالب دكتوراة في قسم هندسة القوى- كلية الهمك. جامعة حمص

المحولة الحرارية الإمتصاصية (Absorption Heat Transformer)

يعرف المحول الحراري بأنه آلة حرارية امتصاصية تتبع دوران عقارب الساعة للوسيل العامل كما يبين الشكل (1)، حيث تُستخدم المصادر الحرارية (Q_{ev} , Q_{de}) ذات درجات الحرارة



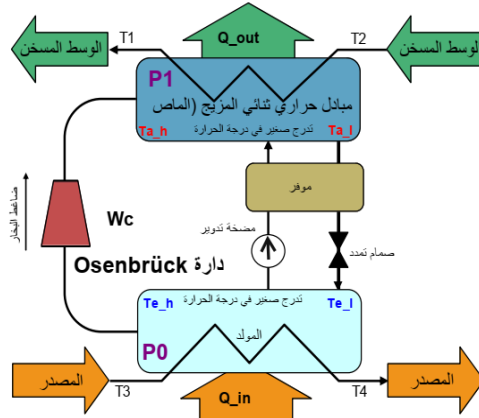
المعتدلة (، T_e , T_d) لتشغيل كل من (المولد (Desorber) و (المبخر (Evaporator على التوالي من أجل توليد بخار الوسيط العامل بضغط عالي (P_e) (ضغط المبخر (Evaporator بهدف الحصول على درجة حرارة مرتفعة (T_a) (درجة حرارة الماس (Absorber). يتم

الشكل (1) مخطط لوخاريتمي (P-T) محولة حرارية

امتصاص البخار الناتج عن المبخر في الماص (Absorber)، وتضاد الحرارة الكامنة في البخار إلى حرارة المحلول (تفاعل الإمتصاص ناشر للحرارة) رافعة درجة حرارة الماص إلى درجة حرارة الخرج العالية (T_a). يتم طرح كمية من الحرارة من المكثف (Q_{co}) مما يقلل من معامل أداء هذه الآلة، وتكون عملية ضخ الحرارة (رفع درجة الحرارة) ليست فعالة بشكل كبير. تعتبر الفائدة الكبرى من استخدام هذه الآلات كمضخات حرارية هي في الاستفادة من الحرارة المهدورة في المنابع المتميزة بدرجات حرارة متوسطة، والتي غالباً ما تكون متوفرة بكثرة، إضافة إلى أن استخدام مضخات السائل تستهلك طاقة أقل بمرتبتين على الأقل من الحرارة المتدفقة في الدارة. تجدر الملاحظة إلى أن جريان الوسيط العامل (البخار - السائل) يسير مع دوران عقارب الساعة، حيث يكون المبخر، والماص عند ضغط عالي بخلاف الآلات الامتصاصية التقليدية، وتشابهها في خاصية التدرج الكبير للتركيز ودرجة الحرارة ضمن (الماص Absorber، المولد Desorber). استخدمت هذه الآلات بكثرة في العديد من التطبيقات الاقتصادية، وعلى رأسها البرك المائية الشمسية (solar pond).

درس [1] المؤشرات термодинамическая لمحولة حرارية تقليدية وحيدة المرحلة تعمل على ضخ كمية حرارة عند الدرجة (125°C)، من بركة مائية شمسية تميّز بمدى (80°C - 30°C) لدرجات الحرارة، وقد استثمرت هذه الآلة في توليد البخار الصناعي. تميّزت هذه الآلة برفع درجة الحرارة بحدود (50°C)، وبمعامل أداء ($\text{COP}=0.35$)، وهذا يعني أن (35%) من الحرارة المنتزعة من البركة ذات درجة الحرارة المعتدلة، قد سلمت بدرجة حرارة (125°C) في الماص (Absorber) لاستخدامها لأغراض صناعية. في حين قام Kurem [2] بدراسة مقارنة بين المحولات الحرارية التقليدية العاملة على (بروميد الليثيوم - الماء) مع الدارات العاملة على (الأمونيا - الماء)، وتوصل إلى أن

معامل أداء المحولة الحرارية يتعلق بشكل قوي بالمؤشرات الترموديناميكية لوسبيط (التبريد - الامتصاص)، حيث أظهرت المحولات التي تعتمد على (الماء-بروميد الليثيوم) كوسبيط عامل معامل أداء أعلى من الأنظمة التي تعتمد على (الأمونيا - الماء)، غير أن محول (الماء-بروميد الليثيوم) أبدى سلبيات تتلخص بـ: الزوجة العالية، التآكل، محدودية الانحلال عند بعض شروط التشغيل، محدودية درجات الحرارة العملية أثناء التشغيل، بلورة بروميد الليثيوم. في حين تميز محول (الأمونيا - الماء) بقابلية انحلال كبيرة عند مجال واسع من شروط التشغيل، وهو يملك استقرار تجاه المعادن ما عدا النحاس، وخالصاته، بالإضافة إلى امتلاكه حرارة كامنة مرتفعة. كما قام [3] من خلال إطروحة دكتوراه في الهندسة الميكانيكية في (Eastern Mediterranean University) بدراسة المؤشرات الترموديناميكية لإمكانية استخدام المحولات الحرارية التقليدية في تحلية مياه البحر حيث توصل إلى نتيجة مفادها ارتفاع كمية الماء النقي المنتجة كلما زاد معامل الأداء (COP)، والذي تبين أنه يرتبط عكسياً مع درجة حرارة التكثيف، ودرجة حرارة المصدر الحراري، وطرداً مع حجم التدرج الحراري في الدارة. وقد كمية الماء النقي المنتج بحدود ($0.2435 \frac{\text{kg}}{\text{s}}$) عند أفضل معامل أداء للدارة المستخدمة (COP=0.38). نلاحظ مما سبق أنه على الرغم من انخفاض معامل أداء هذا النمط من المحولات الحرارية، إلا أنها تعتبر فعالة اقتصادياً، بسبب توفر كميات وفيرة من الحرارة في المسطحات المائية المنسخنة بواسطة الطاقة الشمسية بدرجة حرارة منخفضة، وبتكلفة منخفضة. ولتحسين عامل أداء هذا النمط من المحولات الحرارية فقد جرى تاريخياً تحسينات كثيرة على هذه الدارات من قبيل ما قام به Kiatsiriroat [4]، حيث عمد إلى إضافة مضخة حرارية من نوع ضاغط البخار بين مكثف الدارة الامتصاصية ومبخرها، لاسترداد كل الحرارة الكامنة في البخار المتذوق من المولد (Desorber) إلى المكثف، وضخ هذه الحرارة إلى المبخر، جاعلاً الفاقد الحراري في المكثف (Q_{co}) معدوم. بهذا



الشكل (2) دارة Osenbrück

التعديل تم توثيق قيمة كبيرة لمعامل الأداء ليزداد إلى (COP=0.8)، وهو ما يشكل ميزة اقتصادية كبيرة لهذه الدارات. كما وثق [5] Heredia زيادة في معامل الأداء بحدود (4-14%) باستخدام حاقد

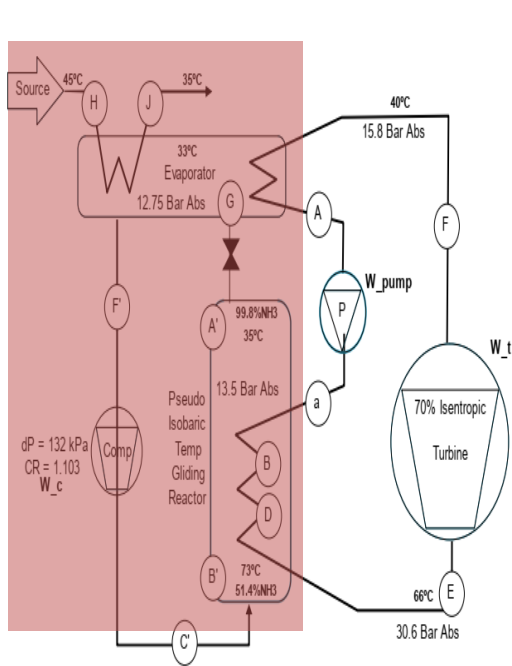
للبخار قبل دخوله إلى الماصل (Absorber)، كما اقترح الباحث في بحثه استرداد حرارة المكثف باستخدام مجموعة من الأنابيب الحرارية بين المكثف، والبخار، وزاد هذا التعديل أيضاً من معامل الأداء بحدود (20%) ليسجل قيمة لمعامل الأداء بحدود (COP=0.6)، وهي قيمة اقتصادية هامة إلى حد بعيد.

توالت التحسينات المدخلة على هذه الدارات عن طريق تهجينها بواسطة الدارات الانضغاطية ذات معامل الأداء العالي، حيث عمل Sveine [6] على تصميم محولة حرارية هجينه (امتصاصية / ضاغطة) تعمل بوسیط (الماء-الأمونيا) معتمداً على تصميم دارة (Osenbrück) الهجينة كما يبين الشكل (2)، حيث دلت المؤشرات الترموديناميكية إلى أن أعلى ضغط في الدارة يُحقق (bar 19)، وأدى هذا التصميم إلى رفع درجة الحرارة من (53°C) (درجة حرارة المصدر الحراري) إلى (117°C) (درجة حرارة الوسط المحيط (البالوعة)) بمعامل أداء (COP=3.8)، وقد كان للمبادل الحراري للمحلول بين (المولد والماس) تأثير كبير على معامل أداء النظام. وفي مقارنة بين المحولات الحرارية الهجينة، والتقليدية عرض Jian [7] في مؤتمر خاص بالمضخات الحرارية مجموعة من

المحددات الخاصة لعمل كلا النوعين حيث بين أن أقل درجة حرارة يمكن استخدامها في مبخر المحول الحراري التقليدي هي (17°C) في حين تبلغ (8°C) في المحول الهجين، في حين بلغت أعلى درجة حرارة يمكن استخدامها في مكثف المحول الحراري التقليدي (-22°C)، بينما في المحول الحراري الهجين (6°C)، كما سجلت استطاعة التسخين للمحول التقليدي قيمة أقل بـ (50%) من استطاعة المحول الحراري الهجين عند نفس الشروط. وفي سبيل تطوير الدارات الهجينية قام Zhou [8] بدراسة المؤشرات الترموديناميكية لمضخة حرارية ضاغطة بخار تعمل بدارة محلول ثانوي، وتبادل حراري بين جهازي الماصل والمولد، بمرحلة واحدة، ومرحلتين امتصاص. أشارت النتائج إلى أن النظام أحادي المرحلة يؤمن (COP) مرتفع، وارتفاع منخفض في درجة الحرارة (التدحرج الحراري)، أما النظام ثانوي المرحلة تكون قيمة (COP) منخفضة بينما زاد ارتفاع درجة الحرارة بشكل كبير (التدحرج الحراري). كما حقق Borgås [9] قيمة عالية لمعامل الأداء (COP=1.6-1.8) من خلال تطوير محول حراري هجين من نمط (CAHT) (Compression/Absorption Heat Transformer) باستخدام تدرج درجة حرارة (50°C) في الماصل (Absorber)، وتدرج بحدود (40°C) في المولد (Generator). حيث كانت القيم التجريبية لتسخين الماء في المبادل الحراري للماصل (البالوعة الحرارية) ضمن المجال (110 – 160°C)، وتبريد الماء في المبادل الحراري للمولد (المصدر الحراري) ضمن المجال (5 – 45°C)، وقد قام الضاغط بضغط بخار يحوي حوالي (95-98%) نسبة كتالية من (NH3) ممزوجة بنسبة مؤوية صغيرة جدًا من بخار الماء، اختلف تصميم (Borgås) عن (Osenbrück) في الاستغناء عن الموفر بين المولد والماصل، بالإضافة إلى اختلاف قيم الضغوط في الدارة حيث يرتبط معامل الأداء بالضغط العاملة في الدارة. كما حقق Jensen [10] معامل أداء (COP) مشابه لنموذج (Borgås)، مختبراً ارتفاع في درجة الحرارة بحدود (30°C)

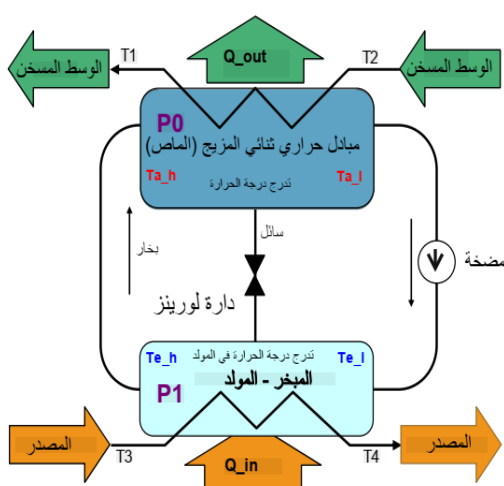
حيث يعمل الماصل (Absorber) بمدى تدرج لدرجات الحرارة (120-150°C) على الرغم من استخدامه تدرج في درجة الحرارة بحدود (10°C) فقط في المولد (Generator).

من المهم ملاحظة أن دارة (CAHT)، تتميز بفرق ضغط كبير بين الماصل (Absorber) والمولد (Generator)، وهو ما يتطلب استهلاك طاقة كهربائية كبير نسبياً من قبل الضاغط، بدلاً من استهلاك الطاقة الحرارية لتشغيل الآلة. عالج هذا الموضوع Enslin [11]، حيث لاحظ أنه من المنطقي ضم التيارات المتعاكسة للسائل الثنائي المزدوج المتندف في كل من الماصل والمولد، والموفر ضمن عمود سائل ثنائي المزدوج أطلق عليه اسم (المفاعل). إن هذا التعديل من وجهة نظره سيسمح باتصال مباشر بين التيارين المتعاكسين منتجاً معدلات أعلى لانتقال الحرارة، والكتلة. وفي هذا السياق تتم عملية التوليد (Generation) في الجزء العلوي من العمود الثنائي حيث يتم سحب البخار من الأعلى، مبرداً هذا القطاع، بينما توليد الحرارة، وعملية الامتصاص (Absorption) تتم في أسفل العمود الثنائي حيث يدخل البخار المضغوط الناتج في الدارة ضمن المزدوج في المفاعل، وهذا بدوره ينتج قطاعات في العمود الثنائي يتم فيها تدرج في درجة الحرارة، وتراكبز الوسيط العامل عند ضغط ثابت نسبياً. إن فقاعات البخار المضغوط سوف تدخل العمود الثنائي من الأسفل ل تقوم بفعل ضخ رافع للبخار، مسبباً تدوير تدفق عكسي للسائل. استخدم Enslin [12] هذا النوع من المحولات الحرارية من أجل توليد الطاقة الكهربائية باستخدام دارة ثنائية (رانكين العضوية) الشكل (3). وقد قدم تحليلاً علمياً متكاملاً لإثبات أن نموذجه يعتبر محلاً حرارياً عالياً الأداء من حيث تحقيقه مجموعة من المتطلبات الحرارية التي تتميز بها دارات المحول الحراري. وكانت المؤشرات الترموديناميكية للدارة كما هو موضح في الشكل (3).



الشكل (3) المؤشرات الترموديناميكية لدارة المحول الحراري الهجين /مفاعل لتوليد الكهرباء بمساعدة دارة رانكين العضوية

على الرغم من أن المحولة الحرارية ذات المفاعل - التي درسها Enslin تملك معامل أداء $(COP = 0.9-1)$ - وهي تعتبر قيمة اقتصادياً - فإن التطبيق العملي ما يزال يتطلب ضاغط بخار مكلف، ولو أنه كان صغير جداً. إن الاستفادة من دارة المفاعل يتطلب فهم السلوك



الشكل (4) دارة Lorenz المشغلة حرارياً

الترموديناميكي للوسط العامل ضمن المفاعل، وخصائصه، الترموفيزيانية ومؤشراته العاملة، وهو ما قام به محمد [14] حيث تم دراسة المؤشرات الترموديناميكية لمفاعل دارة محول حراري، وسلوك الوسيط العامل ضمنه حيث تبين أنه يمكن استخلاص الامونيا من أعلى المفاعل بمؤشرات كفيلة بامكانية استخدامها لاحقاً" كوسيط

تبديد للهواء الجوي من خلال حقنها في مبادل حراري خاص مهمته تبريد الهواء، حيث بينت المخططات أن الحصول على هذه الدرجات متحكم بشكل مبدئي بضغط التشغيل الابتدائي، وتركيز الامونيا في المفاعل. كما أن فرق درجات الحرارة والتراكيز بين طرفي المفاعل يتبع لضغط التشغيل، وتركيز الامونيا، وكمية الحرارة المقدمة في مرحلة الشحن، في حين تلعب درجة حرارة المصدر الدور الاصغر في تحديد درجة حرارة اسفل المفاعل. كما تبين وجود مجموعة من المتطلبات الحرارية للحفاظ على استقرار المفاعل بالحالة العاملة حيث بلغت قيمة كمية الحرارة الواجب امتصاصها من الهواء الجوي $(+20\% \Delta h)$ من انتالبي قاع المفاعل على الأقل. كما توصل إلى أن الحرارة الفائضة المسحوبة من الهواء الجوي يجب التخلص منها عبر مبادل حراري ضمن المفاعل حتى نحافظ على التدرج. للحصول على درجة حرارة أعلى على المفاعل بقيم $[0-10^{\circ}C]$ فإنه يجب أن يتراوح ضغط التشغيل $[0.5-5 \text{ bar}]$ ، ويتركيز للأمونيا $[0.25-0.65]$.

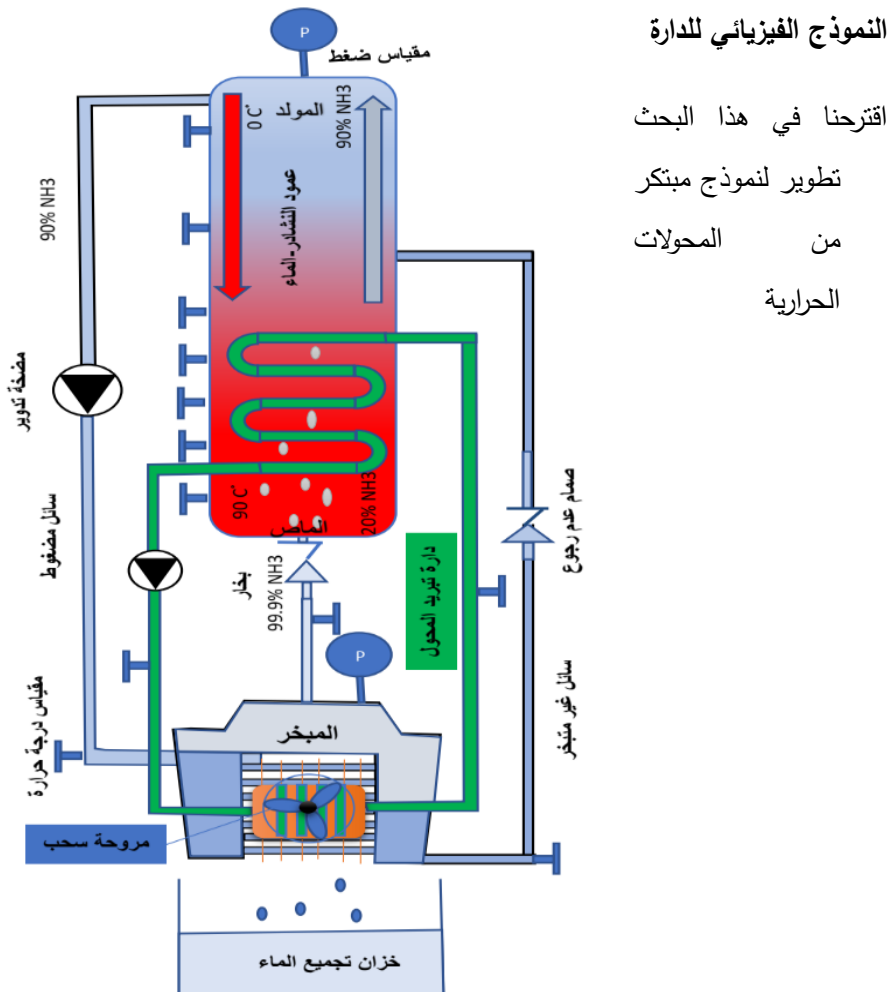
وبالتعمق في الدراسات المرجعية السابقة نرى أن استخدام الدارات الهجينية باستخدام الضواغط وتحسيناتها حق معامل أداء عالي للمحولات الحرارية (التي تعاني من معامل أداء منخفض) على حساب زيادة الاستهلاك الكهربائي، في حين حل نموذج (Enslin) هذه المشكلة جزئياً بتخفيض نسبة الانضغاط في الدارة، واستخدام ضاغط صغير نسبياً يلزم للتغلب على ضغط عمود السائل (المفاعل) فقط. ومن وجهة نظرنا فإنه يمكن استبدال الضاغط بمضخة بالإستفادة من دارة لورينز (Lorenz cycle) الشكل (4) التي تستخدم مضخة سائل لزيادة ضغط السائل الغني بـ (NH₃) البارد بشكل قليل (حوالي 0.5-1 bar) فوق ضغط المفاعل، ليضخ السائل داخل المبخر، حيث الحرارة الخارجية (من المصدر الحراري المهدور) تقوم بتخميره إلا أن هذه الخطوة تتطلب مثلاً استخراج وسيط التبريد بحالة سائلة من أعلى المفاعل، وهو ما يتطلب فهم عميق للسلوك الترموديناميكي لوسيط التبريد المستخدم في الدارة.

هدف البحث

- 1- دراسة المؤشرات الترموديناميكية لدارة محول حراري مبتكرة معتمدة على نموذج (Enslin) وبالاستفادة من نموذج (Lorenz cycle)، تعمل على الطاقة الحرارية المحمولة في الهواء الجوي (الوسط المحيط) وتقدير أدائها.
- 2- البحث في إمكانية استثمار الدارة كآلية تبريد للهواء الجوي.

مواد وطرق البحث

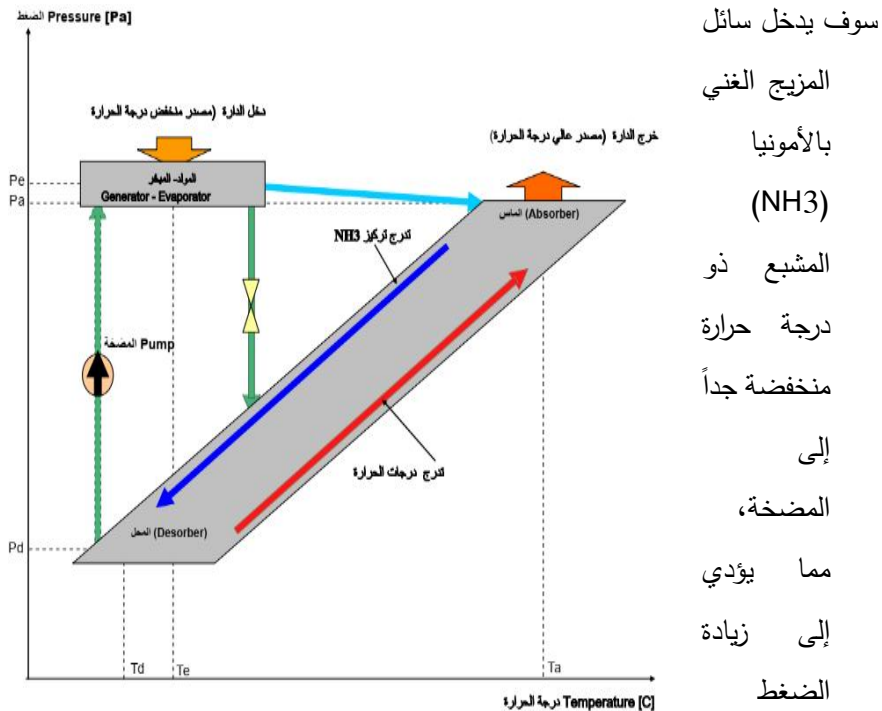
تم اعتماد المنهج التحليلي الرياضي في هذا البحث، حيث تم بداية توصيف النموذج الفيزيائي، ومن ثم وصف النموذج الرياضي. تم حل المعادلات الواسعة، وتحصيل النتائج بالاعتماد على تطبيق (Equation Solver Engineering) (EES).



الشكل (5) محول حراري بفاعل محلول ثانوي لإنتاج (NH₃)
مشغل حرارياً

(الإمتصاصية/مفاعل) كما هو مبين في الشكل (5) نسعى إلى دراسته، واختباره لاحقاً، وهو نموذج جديد لهذا العمود الثنائي (النشادر-الماء) يعتمد بشكل أساسي على الطاقة الحرارية للهواء الجوي لتشغيله حيث تمتلك هذه الطاقة الحرارية في مبخر الدارة مسيبة تبخير الأمونيا عند ضغط المبخر ليتم ضغطها في أسفل المفاعل، أما الجزء غير المبخر يعاد تدويره وإدخاله في نقطة من بدن المفاعل يتم تحديدها حسب المؤشرات الترموديناميكية. الوسيط العامل المستخدم في تبريد الهواء (سحب الطاقة الحرارية اللازمة لتشغيل الدارة) يتم سحبه من أعلى المفاعل، ويتم ضخه عبر مضخة تدوير إلى المبخر. تعمل هذه الدارة كآلية تبريد للهواء الجوي بعد سحب الحرارة الموجودة فيه لتشغيل الدارة، ويمكن الاستفادة منها في تكثيف بخار الماء الموجود في الهواء الجوي عبر التحكم بدرجة حرارة المبخر (الوسيط العامل الخارج من أعلى المفاعل) إلى ما دون درجة الندى.

في ضوء الدراسات السابقة، وتطوراتها قمنا برسم مخطط (P-T) لدارة المحول الحراري (الإمتصاصي/مفاعل) كما في الشكل (6)، حيث نلاحظ أن الفرق في الضغط بين (P_a)، و(P_d) (فرق الضغط بين (absorber)، و(desorber) في الدارة) هو فقط الضغط الناتج عن عمود السائل في المفاعل طالما تم ضم كل من ((desorber)، و(absorber)) في المفاعل كما أسلفنا سابقاً [11]. تكون درجة الحرارة الباردة في أعلى المفاعل (T_d)، بينما درجة حرارة المبخر (T_e) تكون أعلى بـ(10°) فقط من درجة حرارة أعلى المفاعل، بضغط اثنين للمبخر (P_e) أعلى بقليل من ضغط الماس (Absorber) (P_a) يتم تحقيقه بواسطة المضخة، من أجل السماح للبخار بالتدفق من المبخر إلى المولد دون الحاجة إلى وجود ضاغط. من المفترض أن يبقى المفاعل شاقولي، لأجل الاستفادة من خاصية الفصل الثنائي في توليد التدرجات المطلوبة من درجة الحرارة، وتراكيز الـ (NH_3) على طول قطاعات المفاعل حسب شروط التشغيل، والغاية المطلوبة من النموذج وفق [14].



الشكل (6) مخطط P-T لدارة محول حراري/ مفاعل

عندما يصل المزيج الغني بالأمونيا (NH₃) إلى المضخة، مما يؤدي إلى زيادة الضغط، مما يؤدي إلى زيادة درجة حرارة منخفضة جداً إلى الماء، مما يؤدي إلى زيادة الضغط.

الجريان إلى المبخر الأفقي تحت مستوى المفاعل. إن فرق الضغط بين مستوى السائل في المبخر، والمفاعل يجب أن يتم تصميمه بدقة، للتأكد على أن قيمة ضغط البخار المترولد في المبخر كافية لموازنة الضغط الهيدروليكي لعمود السائل في المفاعل، طالما أنه سيدتفق من المبخر مباشرة إلى داخل المفاعل عبر صمام عدم رجوع أسفل المفاعل. ولكن عند التفكير بالنموذج جيداً، نلاحظ أنه في بداية عمل الجهاز يكون ما يزال الماء، والأمونيا مختلط بشكل منتظم، وتكون كل الأنابيب، والمبخر بالكامل مملوءة بهذا المزيج عند بارامترات التشغيل الأساسية. وعندما يتم تقديم الحرارة إلى ملفات المبخر فإن هذه الحرارة سوف تبخر الأمونيا، وتشكل بعض البخار (NH₃ نقى تقريباً)، والتي سوف تملأ الجزء العلوي من المبخر، وأنبوب تسليم البخار إلى المفاعل، ويبعداً بعدها دخول البخار

إلى المفاعل من أسفله. البخار الداخل من أسفل المفاعل على شكل فقاعات سوف يمتص في المنطقة السفلية من المفاعل مولداً حرارة، وهو ما يعتبر بداية لتوليد التدرج (في التركيز، ودرجة الحرارة).

إن المبخر هنا ينجز وظيفتين:

1- مولد البخار، مبخراً (NH3).

2- وعاء يحوي مزيج سائل بتركيز منخفض من (NH3) غير متاخر، والذي يجب إعادة ضخه إلى المفاعل من جديد بحيث يدخل إلى المفاعل بشكل متناسب مع تركيزه، ودرجة حرارة المزيج في المفاعل. خلال إقلاع المفاعل فإن درجة الحرارة الباردة للمزيج في قمة المفاعل يتم إيجادها من خلال تدرج درجة الحرارة المتتالي في المفاعل، والذي تم دراسته من قبل [14]، وبالتالي تدريجياً ستختفي درجة الحرارة للسائل المضغوط، ومنه درجة حرارة المبخر، وبالتالي يزداد امتصاص الحرارة من المصدر الخارجي بواسطة المبخر، طالما ستختفي درجة حرارة الإشباع للمبخر، حتى الوصول إلى نقطة التشغيل المختارة. يتم وضع ملف مبادل حراري ضمن مفاعل المحول الحراري، وظيفته الأساسية إخراج الحرارة الفائضة من أسفل المفاعل لتحقيق توازن التدفق الحراري ضمن النظام بعد وصول المحول إلى نقطة التشغيل التصميمية. يتم عزل كل من المفاعل مع الأنابيب، والمبخر تماماً، ليتم التبادل الحراري عبر المبادلات الحرارية فقط.

النموذج الرياضي للدارة

يبين الشكل (7) أدناه مخطط تصميمي لدارة المحول الحراري (الامتصاصي/مفاعل)، ويبين المخطط البارامترات التصميمية التي تم افتراضها، ووفقاً للمرجعيات العلمية للمحولات الحرارية.

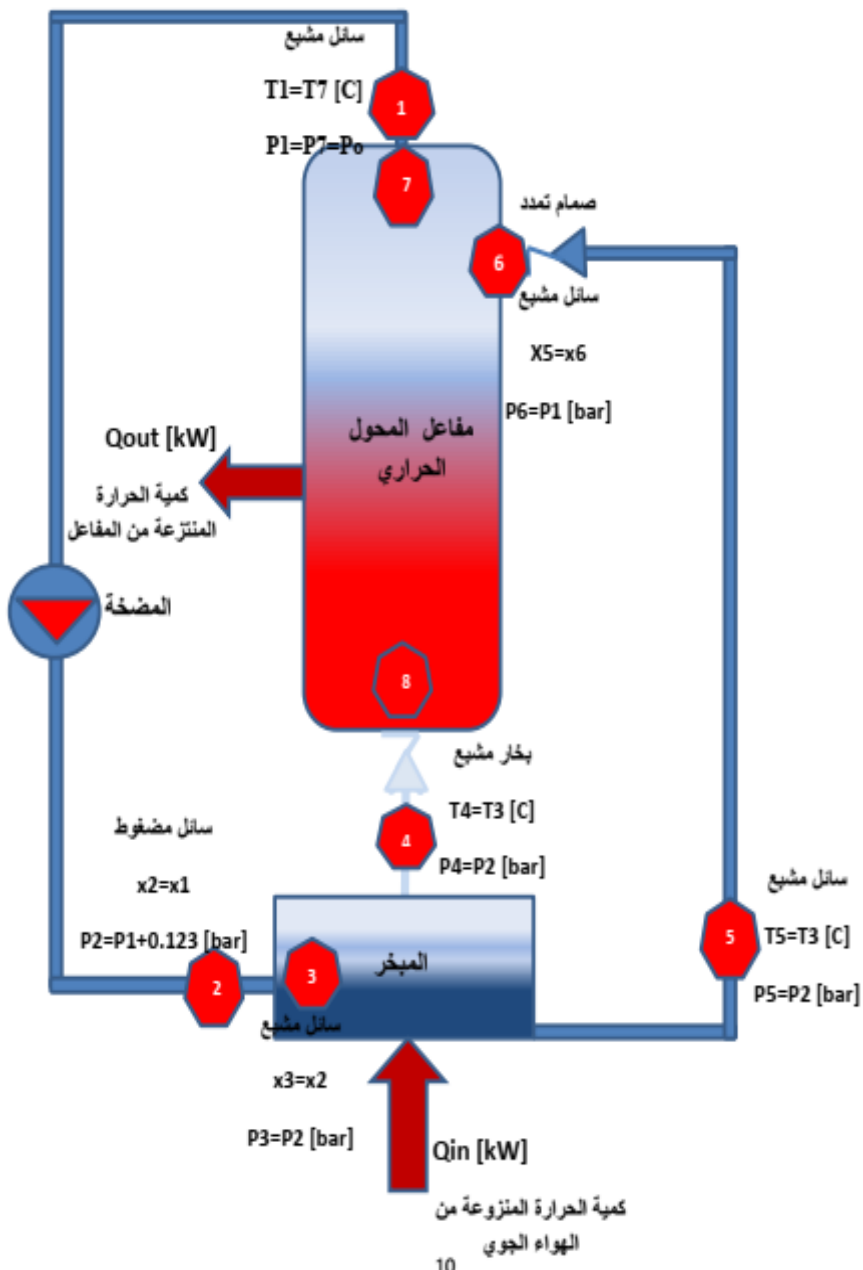
وفيما يلي المعادلات الواسقة:

1- المبخر:

$$\sum m_i = 0 \quad (1) \quad \text{معادلة توازن الكتلة}$$

$$\sum m_i * x_i = 0 \quad (2) \quad \text{توازن المكونات}$$

$$\sum m_i * h_i + Q_{in} = 0 \quad (3) \quad \text{توازن الطاقة}$$



2- المفاعل:

$$\sum m_i * h_i + Q_{out} = 0 \quad (4)$$

من توازن الكتلة في الدارة ككل لدينا:

$$m_5 = m_6, \quad m_1 = m_2 = m_3 \quad (5)$$

m_i : التدفق الكتلي عند الموضع (i). $\left[\frac{kg}{s}\right]$

x_i : تركيز الخليط عند الموضع (i).

h_i : انتالبي الخليط عند الموضع (i). $\left[\frac{kJ}{s}\right]$

Q_{in} : استطاعة التبريد الممتصة من قبل مبخر الدارة [kW].

Q_{out} : كمية الحرارة الواجب انتزاعها من أسفل المفاعل بواسطة مبادل حراري [kW].

يتم إيجاد تدرج التراكيز، ودرجات الحرارة في مرحلة شحن المفاعل قبل التشغيل وفق [14].

وفي مرحلة العمل عند شروط التشغيل تأتي الحرارة المنبودة من المفاعل من حقيقة التفاعلات التي تحصل ضمّنه، والتي تعتبر المسؤولة عن المحافظة على التدرجات في قلب المفاعل.

حيث تقسم الحرارة المتولدة في المفاعل إلى قسمين:

1- الحرارة الناتجة عن امتصاص المزيج الغني بالأمونيا القادم من المبخر من قبل خليط أسفل المفاعل الفقير (تفاعل ناشر للحرارة) :

$$Q_{ab} = m_i * \Delta h_{ab} \quad (6)$$

2- الحرارة المنبودة، والناتجة عن التدرج الفيزيائي (الفصل الثالث) لتركيز محلول بسبب فرق الكثافات:

$$Q_g = m_i * \Delta h_g \quad (7)$$

Δh_{ab} : فرق الانتالبي بين التيار الماصل، والتيار الممتص [kJ/s].

Δh_g : فرق الانتالبي بين التيارين ذو التركيزين المختلفين [kJ/s].

من المفترض في نهاية الحل أن يكون:

$$Q_{ab} + Q_g = Q_{out} \quad (8)$$

تم استخدام المعادلة (8) للتحقق من صحة الحل.

بشكل عام إن هذا التصميم من المحولات الحرارية عالية الأداء المشغلة حرارياً، وكهربائياً يكون معامل الأداء $(COP = \frac{Q_{out}}{Q_{in} + W_{PUMP}})$ قريباً من الواحد، وطالما أن هذه الآلة مشغلة حرارياً، وكهربائياً، فإنه سيتم اعتماد معيارين للأداء من أجل المقارنة، واختبار أداء هذه الآلة (طالما أن الطاقة الحرارية متوفرة بشكل مجاني)، وهما:

$COP_{th} = \frac{Q_{out}}{Q_{in}} - 1$: حيث يعتبر معامل للأداء الحراري (COP_{th}) يعبر عن مقياس نسبة كمية الحرارة التي يجب طرحها من المفاعل إلى كمية الحرارة المسحوبة من الهواء الجوي للحفاظ على حالة استقرار المفاعل، والدارة في الحالة المشحونة (العمل)، والحصول على ما هو مطلوب منه كآلية حرارية.

$COP_e = \frac{Q_{out}}{W_{PUMP}}$ -2 : ويعتبر معامل للأداء الكهربائي (COP_e) ، وهو يعبر عن الاحتياجات الكهربائية في الدارة لضمان عمل المحول بصورة مستقرة، والحصول على ما هو مطلوب منه كآلة حرارية.

الشروط الحرارية

تم اختيار الشروط الحرارية بناء على ما تم دراسته وفق [14] ، ووفقاً للمرجعيات العلمية للمحولات الحرارية:

1- طول المفاعل (1 [m])، قطره (0.135 [m])، يحوي (m=5.60 [kg]) خليط من الماء، والأمونيا بكثافة ($\frac{kg}{m^3}$ 562)، وهو ما يسبب ضغط هيدروليكي في قاع المفاعل يقدر ب (P=0.053 [bar])، طبعاً هذه الشروط لا تؤثر إلا في ضغط قاع المفاعل.

2- المضخة تسبب زيادة في الضغط قدرها (0.123 [bar]).

3- درجة الحرارة في المبخر أعلى بدرجة مئوية واحدة من مدخله.

4- P_1 : يمثل الضغط عند الموقع (1)، وهو يساوي ضغط التشغيل في المفاعل (P_0).

5- P_8 : يمثل الضغط عند الموقع (8)، وهو يساوي ضغط التشغيل في المفاعل مضافاً إليه ضغط عمود السائل في المفاعل.

6- يبين الجدول (1) حالة الوسيط العامل في موقع الدارة وفق ما سبق شرحه وشروط عمل المفاعل [14].

الجدول (1) حالة الوسيط العامل في نقاط الدارة

التركيز x	درجة الحرارة T[C]	الضغط P [bar]	الحالة X	الموقع i
متغير	متغير	[0.2-3.5]	سائل مشبع	1
متغير	متغير	P1+0.123	سائل مضغوط	2
متغير	متغير	P1+0.123	سائل مشبع	3
متغير	متغير	P1+0.123	بخار مشبع	4
متغير	متغير	P1+0.123	سائل مشبع	5
متغير	متغير	P1	سائل بعد صمام تمدد	6
متغير	متغير	P0= P1	سائل مشبع	7
متغير	متغير	P8=P0+0.053	سائل مشبع	8

منهجية الحل

تم استخدام تطبيق (Engineering Equation Solver) (EES) لحل معادلات النموذج الرياضي، وتم استخدام نفس البرنامج من أجل استخلاص النتائج، ورسم المخططات، وإجراء المقارنات.

الدراسة والنتائج

الحالة (1)

تم دراسة أثر تغير ضغط تشغيل المفاعل (ضغط الموقع 1) على مؤشرات الدارة الأساسية

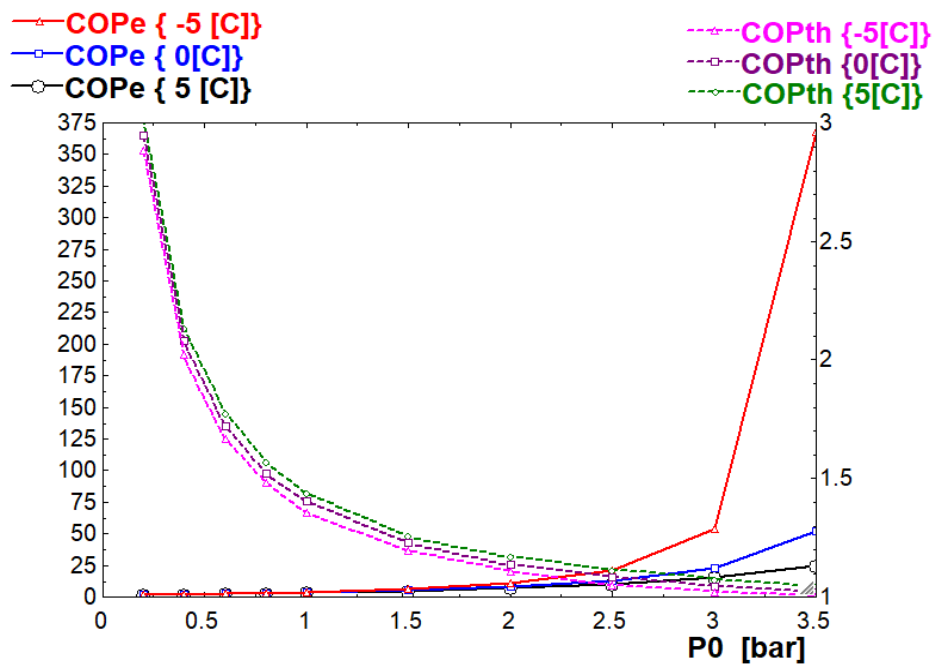
الجدول (2) الشروط الحدية في الحالة (1)

Q_{in} [kW]	التركيز x	درجة الحرارة T [C]	الضغط P [bar]	الحالة X	الموقع i
10	متغير	0,5,-5	[0.2-3.5]	سائل مشبع	1

عند درجات حرارة مختلفة (0,5 ، -5) للمزيج الخارج من قمة المفاعل. كانت كمية

الحرارة المقدمة في الدارة ($Q_{in} = 10 \text{ [kW]}$) حيث يبين الجدول (2) الشروط الحدية المستخدمة في

الدارة. تم اختبار أداء هذه الآلة من خلال رسم مخططات تغيرات معاملات الأداء (الكهربائي والحراري) مع تغير ضغط التشغيل في المفاعل عند درجات حرارة مختلفة [-5, 0, 5 C] بشكل ينطبق مع الألوان، يمثل المحور الشاقولي للشكل (8) كل من معامل الأداء الحراري

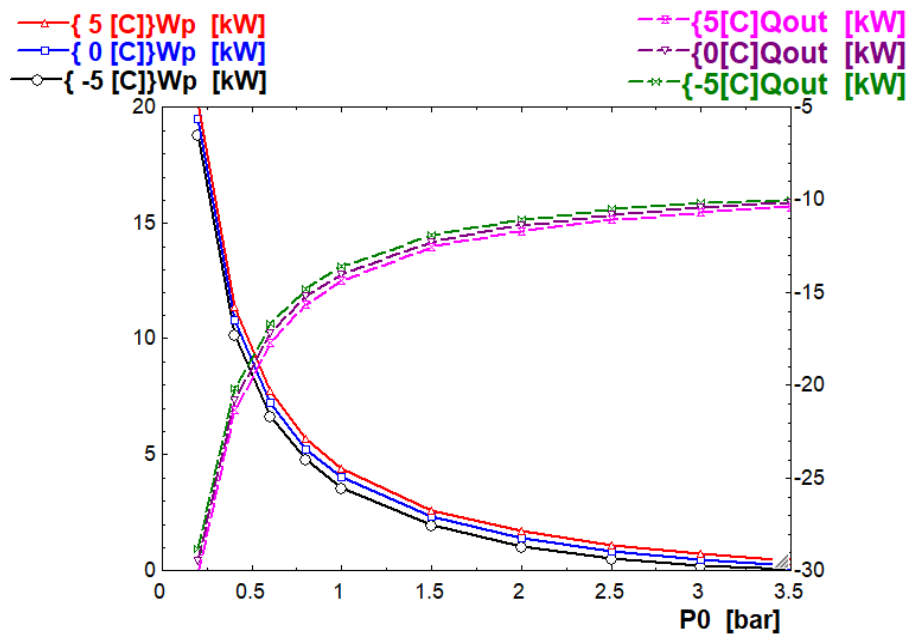


الشكل (8) أثر تغير ضغط التشغيل على معاملات الأداء عند درجات حرارة مختلفة

(اليميني)، والكهربائي (اليساري) وفق المعايير المعرفة مسبقاً. حيث يوضح الشكل زيادة معامل

الأداء الكهربائي بشكل كبير ، وهذه القيم تعبر عن الاحتياجات المنخفضة جداً للطاقة الكهربائية في المجال (1.5-3.5 [bar]) يرافقه انخفاض معامل الأداء الحراري في هذا المجال مما يعني انخفاض الاستهلاك الكهربائي اللازم لتشغيل الدارة، وزيادة الاستهلاك الحراري، والذي غالباً ما يكون حرارة مهدرة لذلك لا يشكل أي خسارة اقتصادية. كما نلاحظ أنه عند درجة حرارة مخرج المفاعل (C-5)، وضغط تشغيل (P=3.5 [bar]) تتحسن جداً المتطلبات الكهربائية لعمل الدارة مما يؤدي إلى ارتفاع كبير في قيمة ($COP_e = 375$) يرافقه انخفاض كبير في قيمة ($COP_{th}=1$)، أي زيادة المتطلبات الحرارية الازمة لعمل الدارة، وهنا الدارة تعمل بشكل تقربي حرارياً، وهذا يرافقه خروج وسيط التبريد (الامونيا) من قمة المفاعل بصورة نقية.

في المجال (0.2-1.5 [bar]) نلاحظ انخفاض معامل الأداء الكهربائي، وهذا يعني زيادة الاستهلاك الكهربائي اللازم لتشغيل المضخة، وبالتالي تشغيل الدارة، كما نلاحظ زيادة المردود الحراري بشكل كبير مما يعني انخفاض الاستهلاك الحراري اللازم لتشغيل الدارة، وعليه يتيح لنا هذا المخطط اختيار المجال الأمثل لعمل المحول الحراري حسب توفر المصدر الحراري، وكيفية تأمينه (إن كان حرارة مهدرة أو منتجة بطريقة ما بغرض تشغيل المضخة الحرارية)، وحسب تعرفة استهلاك الكيلو واط الكهربائي كما يدخل في الحسابان الغاية من استخدام المحول الحراري. يؤكد هذه النتائج الشكل (9) الذي يمثل العمل اللازم لتشغيل المضخة في الدارة (اليساري)، وكمية الحرارة المنبودة عند درجات حرارة مختلفة (اليميني).



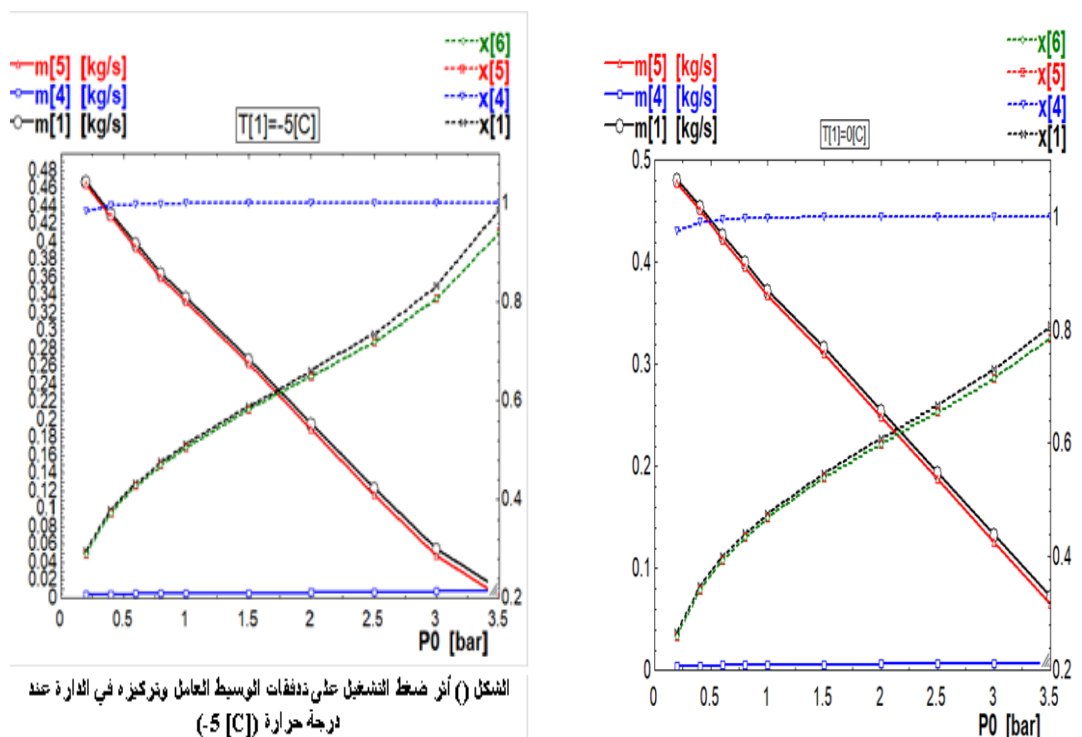
الشكل (9) أثر تغير ضغط التشغيل على استهلاك المضخة وكمية الحرارة المنبوبة عند درجات حرارة مختلفة

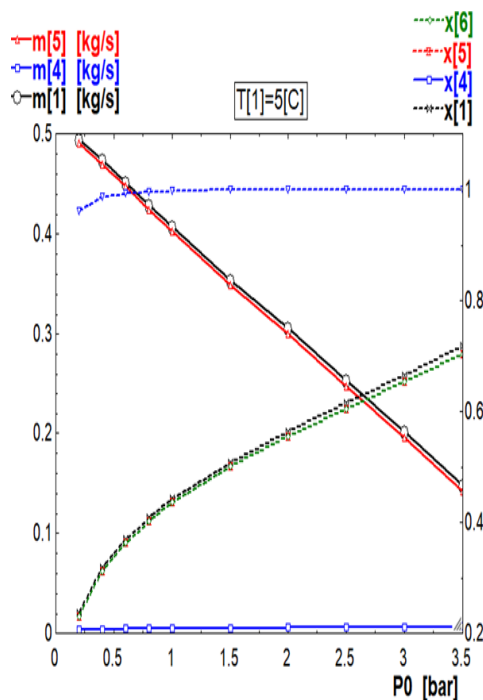
حيث نلاحظ من المخطط أنه عند الضغوط المنخفضة يكون العمل المقدم إلى الدارة كبير أي أن الدارة تحتاج إلى متطلبات كهربائية مرتفعة نسبياً وأقل منها حرارياً.

كما يبين الشكل (10) أثر ضغط التشغيل على تدفقات، وتراكيز الوسيط العامل في نقاط الدارة عند درجات حرارة مختلفة. نلاحظ من المخططات انخفاض تدفق الوسيط العامل الخارج من قمة المفاعل، والسائل غير المتبخر المتبقى في المبخر مع زيادة ضغط التشغيل في الحالات الثلاثة مع زيادة طفيفة في كمية البخار المشكك في المبخر، والمحقون في أسفل المفاعل.

يرجع انخفاض التدفقات إلى الزيادة في تركيز الأمونيا ضمن الوسيط الخارج من قمة المفاعل مع زيادة ضغط التشغيل عند درجة الحرارة المختارة، في حين تعل الزيادة الطفيفة في

كمية المتاخر الداخل أسفل المفاعل الى ارتباط المتاخر بمكون الأمونيا فقط دون الماء (سوى بضع قطرات من الماء)، وكون المتاخر يتعلق بشكل أساسى بكمية الحرارة المسحوبة من الوسط الخارجى (حمل التبريد).

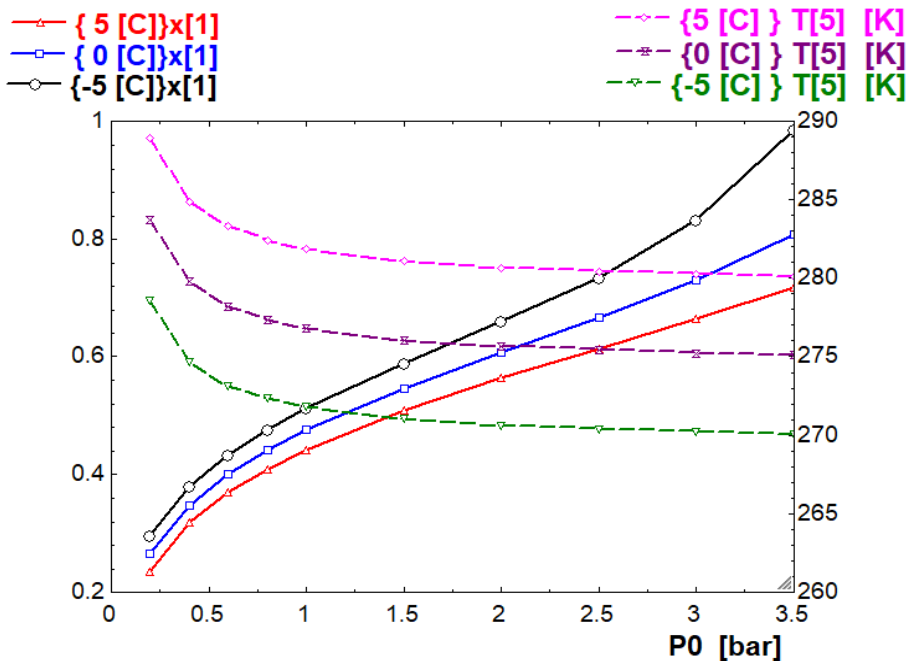




تقيد المخططات المرسومة في الشكل (10) بمعرفة مكان ربط أنبوب الوسيط العامل العائد من المبخر إلى بدن المفاعل عند نقطة لها تركيز قريب ضمن المفاعل حتى لا يؤثر على التوازن الحراري ضمن المفاعل [14]. فبحسب ضغط التشغيل، ودرجة حرارة مخرج المفاعل (مؤشرات التشغيل) يتم تحديد تركيز الوسيط العامل (غير المتبخر) في المبخر [6]، والذي يجب إعادةه إلى نقطة في بدن المفاعل لها تركيز مشابه وفق [14].

الشكل (10) أثر ضغط التشغيل على تدفقات وتركيز الوسيط العامل في نقاط الدارة عند درجات حرارة تشغيل مختلفة

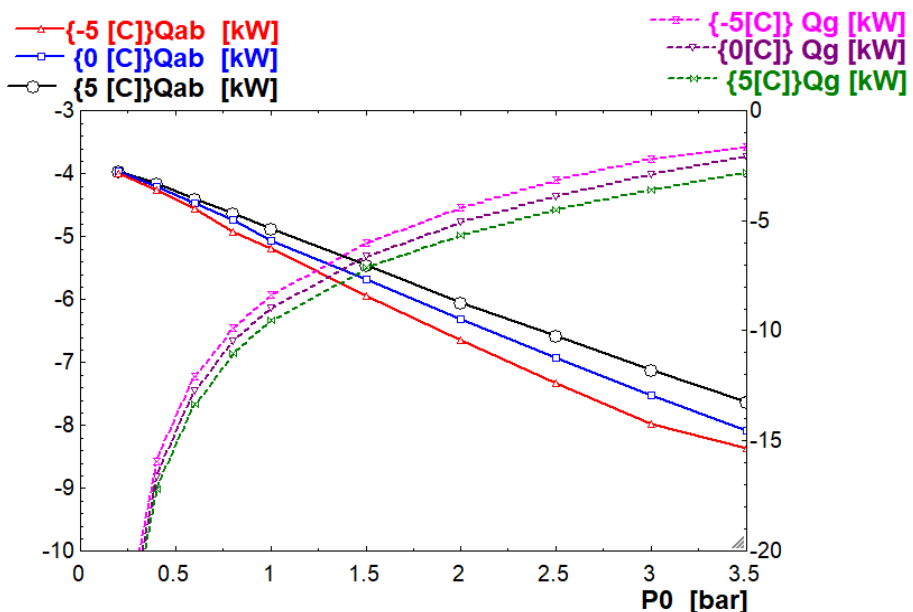
وهو ما يؤكد الشكل (11) الذي يبين أثر ضغط التشغيل على تركيز الأمونيا في المزيج المشبع الخارج من قمة المفاعل، حيث يبين زيادة التركيز مع زيادة ضغط التشغيل في المفاعل.



الشكل (11) أثر ضغط التشغيل على تركيز الأمونيا في المزيج الخارج من قمة المفاعل و على درجة حرارة العائد من المبخر عند درجات مختلفة

كما تم رسم الشكل (12) الذي يبين أثر تغير ضغط التشغيل على كمية الحرارة المنتجة بواسطة عملية الإمتصاص ضمن المفاعل، والحرارة الناتجة بسبب الفصل التالى للمكونات الذى يسبب تدرج تركيز الأمونيا على طول المفاعل.

حيث نلاحظ تناوب عكسي في كميات الحرارة الناتجة ضمن المفاعل لتتشكل بمجموعها الحرارة



الشكل (12) أثر ضغط التشغيل على حرارة الإمتصاص وحرارة الفصل الثالثي عند درجات حرارة مختلفة الواجب طرحها عبر المبادل الحراري الداخلي ضمن المفاعل من أجل استقرار عمل المفاعل، والدارة ككل.

يرجع انخفاض حرارة الإمتصاص مع زيادة ضغط التشغيل إلى زيادة ضغط الإشباع في المفاعل مما يقلل من عملية امتصاص الماء للأمونيا بسبب الخواص الترموفيزيانية للمزيج.

وبسبب انخفاض عملية الإمتصاص فإن عملية الفصل الثالثي بين المكونين تصبح أكبر، وأسهل مما ينعكس على زيادة كمية الحرارة المنبودة بسبب الفصل الثالثي للمكونات.

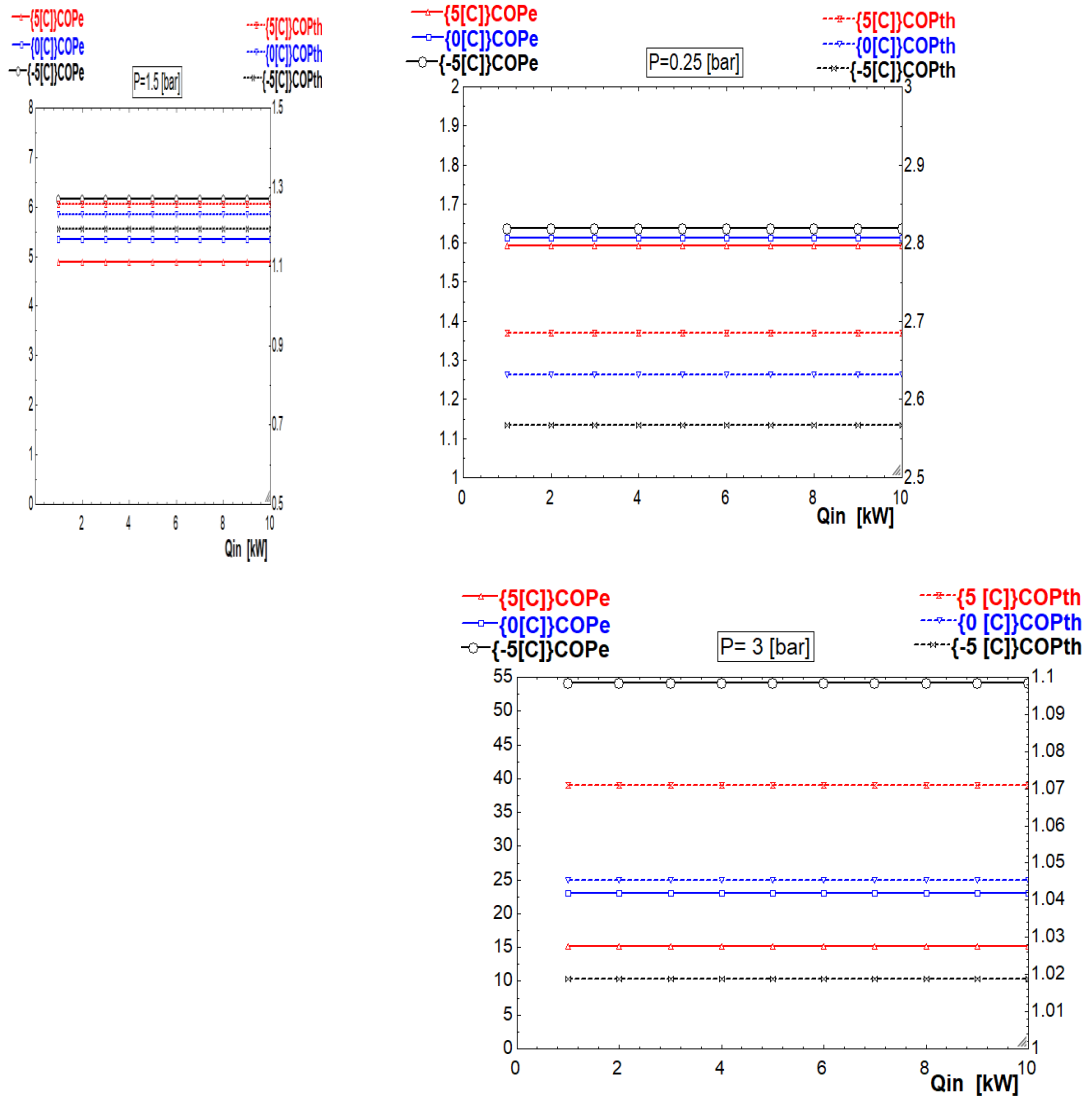
الحالة (2)

تم دراسة أثر تغيير كمية الحرارة (حمل التبريد) المسحوبة من الوسط الخارجي، وهي نفس كمية الحرارة المقدمة لتشغيل الدارة حيث يبين الجدول (3) الشروط الحرية العاملة في الدارة بهذه الحالة.

الجدول (3) الشروط الحرية في الحالة (2)

استطاعة التبريد Q_{in} [kW]	التركيز x	درجة الحرارة T [C]	الضغط [bar]	الحالة X	الموقع i
[1,10]	متغير	5-,0,5	0.25,1.5,3	سائل مثبع	1

تم رسم مخططات الأداء لدارة المحول الحراري كما يبين الشكل (13) حيث نلاحظ أن معاملات الأداء الكهربائية، والحرارية لا تتغير مع تغير حمل التبريد إنما تتغير مع ضغط التشغيل، ودرجة حرارة المزيج الخارج من قمة المفاعل حيث تؤكد المخططات زيادة معامل الأداء الكهربائي مع زيادة ضغط التشغيل، ومع انخفاض درجة حرارة المزيج الخارج من أعلى المفاعل. في حين ينخفض معامل الأداء الحراري مع زيادة ضغط التشغيل، ومع انخفاض درجة حرارة المزيج الخارج من أعلى المفاعل، وهذا التناوب المتعاكس بين المعاملين يأتي من حقيقة أن معامل الأداء الكلي يكون قريباً من الواحد بالنسبة لهذه المحوّلات الحرارية.



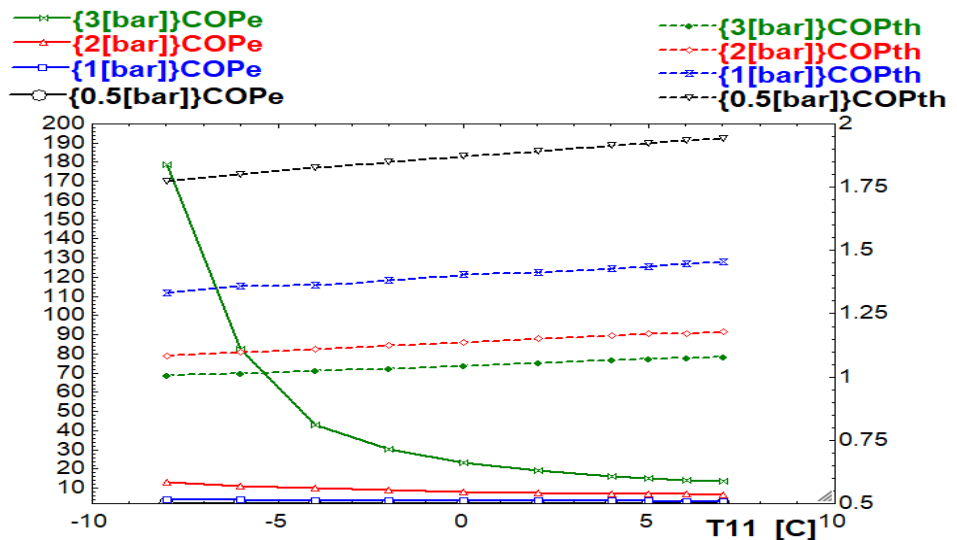
الشكل (13) أثر حمل التبريد على معاملات الأداء لدارة حرارة مختلفة وضغط تشغيل مختلف للمزيج أعلى المفاعل

الحالة (3): تم دراسة معاملات الأداء للدارة عند حالات حدية جديدة وفق الجدول (4) حيث يبين الشكل (14) أثر تغير درجات حرارة المزيج المشبع الخارج من أعلى المفاعل على معاملات الأداء الكهربائية والحرارية عند ضغوط تشغيل مختلفة في المفاعل.

الجدول (4) الشروط الحدية في الحالة (3)

الموقع i	الحالة X	الضغط P [bar]	درجة الحرارة T[C]	التركيز x	استطاعة التبريد Q_{in} [kW]
1	سائل مشبع	0.5,1,2,3	[-7,7]	متغير	10

حيث نلاحظ من الشكل (14) زيادة معامل الأداء الحراري، وانخفاض معامل الأداء الكهربائي مع زيادة درجة الحرارة مع ملاحظة التغير الصغير في معامل الأداء الكهربائي ضمن مجال الدراسة بالنسبة للضغط المنخفضة نوعاً ما، مخالفًا في السلوك التغير الكبير عند ضغط مرتفع (3 bar) عند مجال درجات الحرارة المدروس، وهذا يتعلق بالطبيعة الترموفيزائية للمزيج حيث عند هذه الضغوط العالية فقط يمكن الحصول على تراكيز عالية للأمونيا عند شروط التشغيل المدروسة مما يقلل من استهلاك الكهرباء في ضخ الأمونيا، وزيادة معامل الأداء الكهربائي، كما سيكون التغير في قيم المخطط ستبدو أكبر عند مجال لدرجات الحرارة أقل من (10°C)، وهذا ما تم ملاحظته مسبقاً في الشكل (8) حيث يصبح اعتماد الالة أكثر على الطاقة الحرارية للتشغيل، في حين وهو ما أكدته دراسة الحالات السابقة .



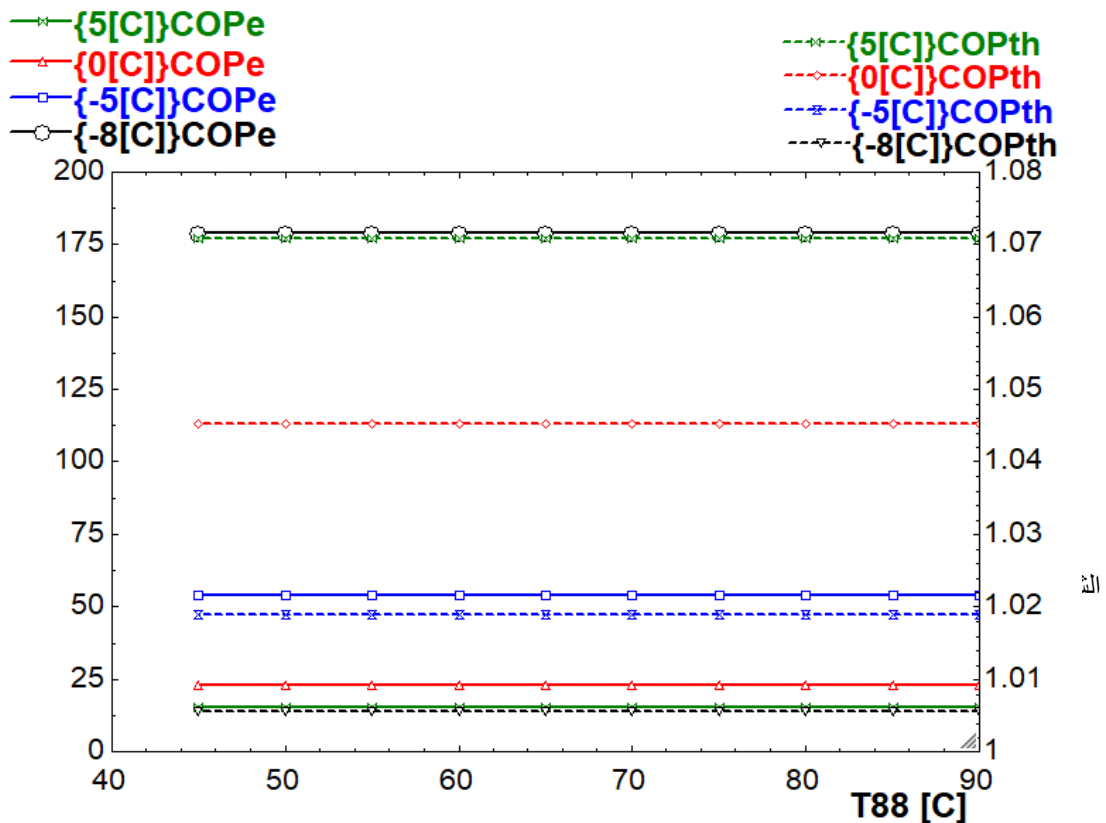
الشكل (14) أثر تغير درجة حرارة المزيج الخارج من المفاعل على معاملات الأداء عند ضغوط مختلفة

الحالة (4): تم دراسة المؤشرات الترموديناميكية للمحول الحراري عند تغيير حالة شحن المفاعل (ندرج حراري وندرج المكونات)، حيث يبين الجدول (5) الشروط الحدية للدراسة:

الجدول (5) الشروط الحدية في الحالة (4)

استطاعة التبرير $Q_{in} [kW]$	التركيز x	درجة الحرارة T [C]	الضغط P [bar]	الحالة X	الموقع i
10	متغير	-8,-5,0,5	3	سائل مشبع	1
	متغير	[45-90]	3.053	سائل مشبع	8

تم رسم أثر تغير درجة حرارة قاع المفاعل على أداء الدارة ككل عند درجات حرارة مختلفة لقمة المفاعل، حيث يبين الشكل (15) إن معامل الأداء الكهربائي، والحراري للدارة لا يتعلّق بدرجة حرارة قاع المفاعل، في حين تتعلّق بشكل أساسى بدرجة حرارة التشغيل

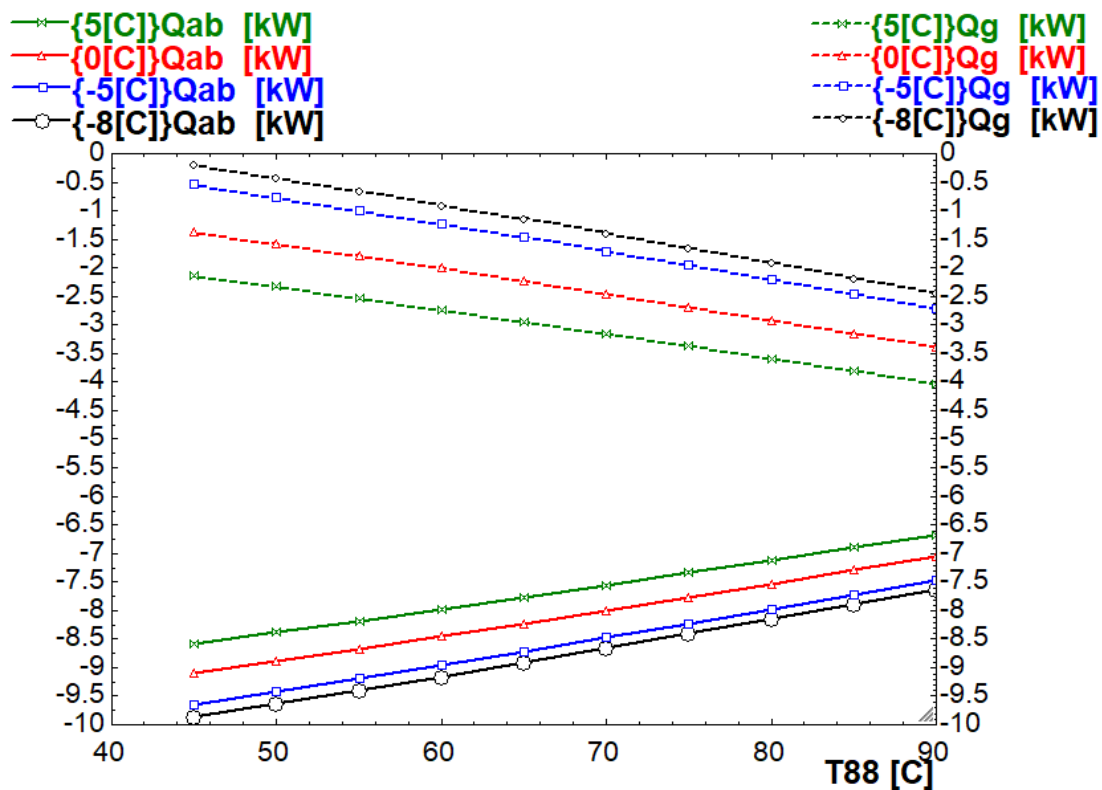


الشكل (15) أثر تغيير درجة حرارة قاع المفاعل على معاملات الأداء عند درجات تشغيل مختلفة

(درجة حرارة أعلى المفاعل) فمع انخفاض درجة حرارة المزيج المغادر أعلى المفاعل يزداد معها معامل الأداء الكهربائي في حين ينخفض معامل الأداء الحراري وبالعكس، وهو ما يؤكّد النتائج التي حصلنا عليها في الشكل (14). وعليه فإنه من ناحية تشغيل المحول الحراري في التبريد فإنه من غير المهم رفع درجة حرارة قاع المفاعل إلى درجات

حرارة مرتفعة مما يوفر الطاقة الحرارية المطلوبة في مرحلة شحن المفاعل لتوليد التدريجات الحرارية، كما يوفر زمن الشحن. وعليه يجب الانتباه فقط إلى أهمية تحفظ شرط الحفاظ على التدرج الحراري ضمن المفاعل العامل عند اختيار حدود درجات الحرارة، والتركيز ضمن المفاعل .**[14]**

تم دراسة أثر تغيير درجة حرارة قاع المفاعل على كمية الحرارة الناتجة عن امتصاص قاع المفاعل للبخار الداخل من المبخر، حيث يبين الشكل (16) إنخفاض كمية الحرارة المترسبة عند امتصاص بخار الأمونيا القادم من المبخر مع ارتفاع درجة حرارة المزيج الفقير في قاع المفاعل، وهذا مرده إلى الطبيعة الترموفيزائية للمزيج ، في حين تزداد كمية الحرارة المنبودة بسبب الفصل التالى حيث أن انخفاض الإمتصاص في قاع المفاعل يساعد في عملية الفصل التالى مما يزيد من كمية الحرارة المترسبة نتيجة هذه العملية، وهو ما يؤكد الشكل (12).



الشكل (16) أثر تغير درجة حرارة قاع المفاعل على كمية الحرارة المتحررة ضمن المفاعل عند درجات حرارة تشغيل مختلفة
الحالة (5): تم دراسة حالة دارة المحول الحراري وفق الشروط الحرية المبينة في الجدول (6).

الجدول (6) الشروط الحدية في الحالة (5)

الموقع i	الحالة X _i	الضغط P [bar]	درجة الحرارة T [C]	التركيز X	استطاعة التبرير $Q_{in} [kW]$
10	سائل مشبع	3	-8	---	
	سائل مشبع	3.053	80	---	

بالحل يبين الشكل (17) النتائج لنقط الدارة.

يبين الشكل $Q_{out} = Q_2$ كنتيجة للتحقق من الحل.

Arrays Table: Main

	Qu _i [X _i]	P _i [bar]	T _i [K]	h _i [kJ/kg]	u _i [kJ/kg]	s _i [kJ/kg·K]	v _i [m ³ /kg]	x _i	m _i [kg/s]	
1		0	3	265.1500	-76.82	-77.26	-0.1256	0.001481	0.94528	1.722E-02
2		-0.001	3.123	266.1614	-73.55	-73.89	-0.1131	0.001092	0.94528	1.722E-02
3		0	3.123	266.1616	-72.25	-72.71	-0.1082	0.001484	0.94528	1.722E-02
4		1	3.123	267.1616	1264	1141	4.765	0.395	0.99998	7.659E-03
5		0	3.123	267.1616	-99.53	-99.98	-0.1159	0.001447	0.90146	9.561E-03
6		0.003607	3	266.1498	-99.53	-100.4	-0.1159	0.002919	0.90146	9.561E-03
7		0	3	265.1500	-76.82	-77.26	-0.1256	0.001481	0.94528	
8		0	3.053	353.1500	200.6	200.2	1.074	0.00113	0.20834	

SOLUTION

Unit Settings: SI K bar kJ mass deg

COP = 1
COPth = 1.006
h3 = -72.25
h6 = -99.53
P0 = 3 [bar]
P6 = 3
Q2 = 10.05622 [kW]
Qin = 10 [kW]
T11 = -8 [C]
T8 = 353.2
x1 = 0.9453
x4 = 1
x7 = 0.9453

COPcarnot = 4.013
h1 = -76.82
h4 = 1264
h7 = -76.82
P1 = 3
P7 = 3
Qab = -8.149 [kW]
Qout = -10.05622 [kW]
T4 = 267.2
T88 = 80
x2 = 0.9453
x5 = 0.9015
x8 = 0.2083

COPe = 178.9
h2 = -73.55
h5 = -99.53
h8 = 200.6
P2 = 3.123
P8 = 3.053
Qg = -1.907 [kW]
T1 = 265.2
T7 = 265.2
Wp = 0.05622 [kW]
x3 = 0.9453
x6 = 0.9015

الشكل (17) نتائج الحل باستخدام تطبيق (EES) للحالة (5)

النتائج والمناقشة

1- تعتبر مؤشرات التدرج (درجات الحرارة، تركيز الأمونيا) في المفاعل هي القوة المحركة الأساسية لعمل المحول الحراري، وعليه إن كمية الحرارة اللازمة لشحن المفاعل قبل تشغيل الدارة مهمة لتوليد هذه التدرجات على طول المفاعل، إلا أن هذا المؤشر (المدى)

لا يملك تأثيراً على معامل أداء الدارة، الذي ينحصر تأثيره بدرجة حرارة قمة المفاعل حيث لوحظ زيادة معامل الأداء الكهربائي مع انخفاض درجة حرارة المزيج المشبع في قمة المفاعل مما يعني بالضرورة انخفاض الاستهلاك الكهربائي اللازم لعمل الدارة، وبشكل أساسي الاستهلاك في المضخة.

2- لا يملك مؤشر درجة حرارة قاع المفاعل أي تأثير على معامل الأداء للدارة في حين ينحصر تأثيرها على كميات الحرارة المطروحة من المفاعل بسبب عملية امتصاص بخار الأمونيا في قاع المفاعل، وعملية الفصل التقالي الفيزيائي لمكونات العمود الثاني.

3- يملك مؤشر ضغط التشغيل في المفاعل (الضغط العامل في قمة المفاعل) أثراً كبيراً على معاملات الأداء في الدارة.

4- مؤشر الضغط في قاع أي مفاعل يتبع كثافة المزيج العامل في الدارة، وارتفاع المفاعل، والضغط العامل في قمة المفاعل حسب أدبيات هذا النمط من المفاعلات، وهو ما تم التأكيد عليه عند دراسة المؤشرات الترموديناميكية للوسيط العامل ضمن المفاعلات [14]

5- عند زيادة ضغط التشغيل P_0 تنخفض تدفقات الوسيط العامل في الدارة لكن بالمقابل يزيد تركيز الأمونيا (الوسط المتاخر) في المزيج المتحرك، مما يؤدي إلى انخفاض استهلاك الطاقة في المضخة زيادة معامل الأداء الكهربائي.

6- لا يؤثر مؤشر كمية الحرارة الممتصة من الهواء الخارجي لعمل المحول على معاملات أداء الدارة عند شروط معينة.

7- امكانية استخدام الدارة كمضخة حرارية تستخدم لأغراض التدفئة عند شروط تشغيلية معينة.

8- إمكانية استخدام الدارة كآلية تبريد يمكن استخدامها في تبريد الهواء الجوي، واستخلاص الماء منه.

**Study of thermodynamic parameters of an innovative
thermoelectric converter circuit and evaluation of its
performance**

Mohamed Abdo Bakeer*

Mohamed Ahmed

Mohamed **

Abstract

Absorption Heat Transformer is electrically operated thermal machines, and thermally operated by a low-temperature heat source. These machines have evolved greatly from hybrid machines to reactor circuits to reduce electrical consumption in the circuit. In this research, we studied the thermodynamic indicators to evaluate the performance of a new model developed from a Absorption Heat Transformer (reactor), which uses a mixture of water and ammonia as a working medium in the circuit. The research concluded the importance of operating pressure and the temperature of the mixture exiting the reactor on the performance parameters in the circuit, in addition to the role of these parameters in determining the purpose of using the Heat Transformer (as a heat pump or a cooling machine). The study also showed that the extent of the thermal gradient in the reactor, the temperature of the reactor bottom, or the cooling load are not related to the performance parameters of the circuit. The research also concluded that, due to the chemical processes that occur in

the reactor (absorption of ammonia and the process of gravitational separation of components), heat will be produced within the reactor that must be disposed of in order to keep the reactor in a charged state and the circuit in operation. The amount of heat released in the reactor depends on the reactor operating parameters, the cooling load, and the electrical power consumed in the circuit.

Keywords: Absorption Heat Transformer, thermal reactor, absorption circuits, zeotropic mixture.

* Professor Doctor Engineer in Homs University, Mechanical and Electrical Engineering, Power Engineering

**Doctoral student in Homs University, Mechanical and Electrical Engineering, Power Engineering.

قائمة المصادر والمراجع

- 1- **Rivera Wilfrido** Experimental Evaluation of a single-stage Heat Transformer used to increase [Journal] // Solar Energy Vol 69, No. 5, . - 2000. - pp. 369 - 376.
- 2- **Kurem E. Horuz I.** A comparison between ammonia-water and water-lithium bromide solutions in absorption heat transformers [Journal] // International Communications in Heat and Mass Transfer, Volume 28, Issue 3. - 2001. - pp. 427-438.

- 3- **Parham Kiyan** Applications of Absorption Heat Transformers in Desalination, Cogeneration and the Use of Alternative Working Pairs [Book]. - Gazimağusa, North Cyprus : Eastern Mediterranean University, 2014.
- 4- **Kiatsiriroat Nattaporn Chaiyat and Tanongkiat** Upgrading of Solar Heat by an Absorption Heat Transformer assisting with a Vapor Compression Heat Pump [Journal] // engineering journal -Maejo University. - 2014. - pp. 10-20.
- 5- **Heredia I. J. Siqueiros, J.A. Hernández, D.Juárez-Romero, A. Huicochea, J.G. González-Rodríguez** Energy saving into an absorption heat transformer by using heat pipes between evaporator and condenser [Journal] // Applied Thermal Engineering 128. - 2018. - pp. 737 - 746.
- 6- **Sveine T.** Design of high temperature absorption/compression heat pump [Conference] // IIR-Gustav Lorentzen conference.. - Norwey : Natural Working Fluids, 1998.
- 7- **Jian Wang Wei Wu, Xianting Li, Baolong Wang, Wenxing Shi** ,2017, Analysis of a compression-assisted absorption heat transformer , [Conference] // 12th IEA heat pump conference., - China : Stichting HPC, 2017. - pp. 1-7.
- 8- **Zhou Q. and R. Radermacher** Development of a vapor compression cycle with a solution circuit and desorber/absorber heat exchange [Journal] // International Journal of Refrigeration 20. - 1997. - pp. 85 –95.

- 9- **Borgås Anders** Development of the Hybrid Absorption Heat Pump Process at High Temperature Operation [Book]. - Norway : NTNU Department of Energy and Process Engineering, Norwegian University of Science and Technology, Masters Thesis June 2014.
- 10- **Jensen Jonas Kjaer** Industrial Heat Pumps for High Temperature Process Applications (A numerical study of the ammonia-water hybrid absorption-compression heat pump) [Book]. - Denmark : Kongens Lyngby, DTU Mechanical Engineering, Technical University of Denmark., Ph.D. Thesis, December 2015.
- 11- **Enslin Johan** The Proof-of-Concept (POC) Model of the REHOS Ejector Heat Pump [Report]. - Heidelberg South Africa : micro system company, 2018.
- 12- **Enslin Johan** Rankine Cycle Efficiency Increase by the Regenerative Recovery of Historically Rejected Heat_rev1 . - Heidelberg : [s.n.], 2019.
- 13- **Weed L. Kielasa and G.E.** An Introduction to the Kalina Cycle [Conference] // Proceedings of the International Joint Power Generation Conference. - [s.l.] : PWR- Vol.30, 1996.
- 14- محمد أحمد محمد، د. محمد عبده باكير دراسة المؤشرات الترموديناميكية التشغيلية لمفاعل دارة محول حراري [مقالة] // سلسلة الأعداد للعلوم الطبيعية والهندسية الأساسية والتطبيقية. - حمص، سوريا : مجلة جامعة البعث، 2023.

ملحق للمعادلات المستخدمة في الحل في برنامج EES

```

T11=5{[C1]}
(P0=3{[bar]})  

T1=converttemp(C,K,T11)
{ Reactor Top}
T7=T1
P7=P0
{ Reactor bottom}
T88=80
T8=converttemp(C,K,T88)
P8=P0+0.035{<=====}
{point1}
P1=P0
Call NH3H2O(128, T1, P1, 0: T[1], P[1], x[1], h[1], s[1], u[1], v[1], Qu[1])
{point2}
x2=x[1]
P2=P1+0.123
Call NH3H2O(238, P2, x2,-0.001: T[2], P[2], x[2], h[2], s[2], u[2], v[2], Qu[2])
{point3}
Call NH3H2O(238, P2, x2, 0: T[3], P[3], x[3], h[3], s[3], u[3], v[3], Qu[3])
{point4}
T4=T[3]+1
Call NH3H2O(128, T4, P2, 1: T[4], P[4], x[4], h[4], s[4], u[4], v[4], Qu[4])
{point5}
Call NH3H2O(128, T4, P2, 0: T[5], P[5], x[5], h[5], s[5], u[5], v[5], Qu[5])
{point6}
P6=P0
x6=x[5]
h6=h[5]
Call NH3H2O(234, P6, x6, h6: T[6], P[6], x[6], h[6], s[6], u[6], v[6], Qu[6])
{point7}
Call NH3H2O(128, T1, P1, 0: T[7], P[7], x[7], h[7], s[7], u[7], v[7], Qu[7])
{point8}
Call NH3H2O(128, T8, P8, 0: T[8], P[8], x[8], h[8], s[8], u[8], v[8], Qu[8])
x1=x[1]
x3=x[3]
x4=x[4]
x5=x[5]
x7=x[7]
x8=x[8]
h1=h[1]
h2=h[2]
h3=h[3]
h4=h[4]
h5=h[5]
h7=h[7]
h8=h[8]
{heat input}
Qin=10
{evaporator}
m[2]=m[4]+m[5]
m[2]*x[2]=m[4]*x[4]+m[5]*x[5]
m[2]*h[2]+Qin=m[4]*h[4]+m[5]*h[5]
m[1]=m[2]
m[2]=m[3]
m[5]=m[6]
{reactor}
m[4]*h[4]+m[6]*h[6]=m[1]*h[1]+Q2{<=====}
(m[4]*x[4]+m[6]*x[6]=m[1]*x[1])
Qg=m[4]*(h[7]-h[8])+m[6]*(h[7]-h[6])
Qab=m[4]*(h[8]-h[4])
Qout=Qg+Qab
{pump}
Wp=m[1]*(h[2]-h[1])
{performance factors}

```

دراسة المؤشرات الترموديناميكية لدارة محول حراري مبتكر وتقدير أدائه

$$COP = -(Q_{out}/(Q_{in} + W_p))$$

$$COP_{th} = Q_{out}/Q_{in}$$

$$COP_e = Q_{out}/W_p$$

$$COP_{carnot} = T[8]/(T[8] - T[1])$$

Parametric Table: Table 3(P0): T=5C

	P0 [bar]	m1 [kg/s]	x1	T1 [K]	m4 [kg/s]	x4	T4 [K]	m5 [kg/s]	x5
Run 1	0.2	4.940E-01	0.23578	278.1500	3.786E-03	0.96004	288.9489	4.902E-01	0.230
Run 2	0.4	4.735E-01	0.31770	278.1500	4.114E-03	0.98537	284.8914	4.694E-01	0.311
Run 3	0.6	4.513E-01	0.36957	278.1500	4.354E-03	0.99224	283.2905	4.469E-01	0.363
Run 4	0.8	4.287E-01	0.40907	278.1500	4.550E-03	0.99518	282.4193	4.242E-01	0.402
Run 5	1	4.067E-01	0.44181	278.1500	4.728E-03	0.99673	281.8668	4.020E-01	0.435
Run 6	1.5	3.533E-01	0.50809	278.1500	5.181E-03	0.99847	281.0946	3.481E-01	0.500
Run 7	2	3.053E-01	0.56329	278.1500	5.645E-03	0.99915	280.6771	2.997E-01	0.555
Run 8	2.5	2.533E-01	0.61395	278.1500	6.065E-03	0.99949	280.4173	2.473E-01	0.604
Run 9	3	2.017E-01	0.66392	278.1500	6.496E-03	0.99968	280.2333	1.952E-01	0.652
Run 10	3.5	1.486E-01	0.71674	278.1500	6.924E-03	0.99980	280.0970	1.416E-01	0.702

Parametric Table: Table 3(P0): T=5C

	T5 [K]	Q2 [kW]	Qab	Qg	Qout [kW]	Wp [kW]	COP	COPcarnot	COPth
Run 1	288.9489	30.19476	-3.97	-26.22	-30.19476	20.19476	1	4.709	3.019
Run 2	284.8914	21.34974	-4.15	-17.2	-21.34974	11.34974	1	4.709	2.135
Run 3	283.2905	17.72660	-4.398	-13.33	-17.72660	7.72660	1	4.709	1.773
Run 4	282.4193	15.68987	-4.64	-11.05	-15.68987	5.68987	1	4.709	1.569
Run 5	281.8668	14.37719	-4.87	-9.507	-14.37719	4.37719	1	4.709	1.438
Run 6	281.0946	12.57072	-5.458	-7.112	-12.57072	2.57072	1	4.709	1.257
Run 7	280.6771	11.70088	-6.049	-5.652	-11.70088	1.70088	1	4.709	1.17
Run 8	280.4173	11.09543	-6.58	-4.515	-11.09543	1.09543	1	4.709	1.11
Run 9	280.2333	10.70887	-7.116	-3.593	-10.70887	0.70887	1	4.709	1.071
Run 10	280.0970	10.42828	-7.638	-2.79	-10.42828	0.42828	1	4.709	1.043

Parametric Table: Table 3(P0): T=5C

	COPe
Run 1	1.495
Run 2	1.881
Run 3	2.294
Run 4	2.758
Run 5	3.285
Run 6	4.89
Run 7	6.879
Run 8	10.13
Run 9	15.11
Run 10	24.35